

ویژگی ژئوشیمیایی سنگ‌های آمفیبولیتی پیر عباد، شمال شرق ازنا، پهنه سندج-سیرجان

سحر کولیوند^۱، ناهید شبانیان^{*۲}، علیرضا داودیان^۳

۱- کارشناس ارشد پترولوزی، دانشکده منابع طبیعی و علوم زمین، دانشگاه شهرکرد

۲- استادیار، دانشکده منابع طبیعی و علوم زمین، دانشگاه شهرکرد

۳- استاد، دانشکده منابع طبیعی و علوم زمین، دانشگاه شهرکرد

پذیرش مقاله: ۱۳۹۵/۶/۱۱

تأیید نهایی مقاله: ۱۳۹۶/۲/۲۴

چکیده

آمفیبولیت‌های پیرعباد در شمال شرق شهر ازنا در استان لرستان در پهنه سندج-سیرجان قرار دارند. این آمفیبولیت‌ها به صورت توده‌های لنزی شکل در منطقه پراکنده‌گی دارند و کم و بیش متتحمل دگرشکلی شکل پذیر شده‌اند و بنابراین گاهی شواهد بارزی از این نوع دگرشکلی نظیر خطاواره، برگواره و ماهی کانیایی را به نمایش می‌گذارند. آمفیبیول و پلازیوکلاز دو کانی اصلی تشکیل‌دهنده این سنگ‌ها می‌باشند. شواهد ژئوشیمیایی نشان می‌دهد که این آمفیبولیت‌ها دارای منشاء آذرین هستند. سنگ مادر این آمفیبولیت‌ها بازالت با ماهیت ساب-آلکالن و تولئیتی می‌باشد. در نمودار به هنجار شده به کندریت غنی‌شده‌گی از LREE ها نسبت به HREE ها مشاهده می‌شود. همچنین در نمودار به هنجار شده به گوشته اولیه HFSE ها و HREE ها تهی‌شدگی نشان داده‌اند. نمودارهای تفکیک محیط تکتونیکی، آنومالی منفی Nb و Ti به همراه مقادیر بالای Th و Ba/Yb نشان‌دهنده موقعیت حوضه پشت کمان آغازین برای تشکیل ماقمای سازنده پروتوولیت این سنگ‌ها می‌باشد.

واژه‌های کلیدی: آمفیبولیت، پهنه سندج-سیرجان، پیرعباد، ژئوشیمی، حوضه پشت کمان.

از سنگ‌های دگرگونی به صورت مخلوطی از منشا قاره‌ای (ارتونایس) و اقیانوسی (تنوعی از آمفیبولیت‌ها) بروزد دارند که در شرایط رخساره آمفیبولیت دگرگون شده‌اند و این سنگ‌های دگرگونی مورد نفوذ توده‌های گابرویی دره ژان واقع گردیده‌اند (شاکراردکانی و همکاران، ۲۰۱۵). سن‌های U-Pb کانی زیرکن برای دو نمونه از ارتونایس‌ها سن‌های ۶۰۸ تا ۵۸۸ میلیون سال قبل را نشان می‌دهد که بیانگر این مطلب است که این ناحیه بخشی از پی‌سنگ پان‌آفریکن ایران می‌باشد (شاکراردکانی و همکاران، ۲۰۱۵). کمپلکس دگرگونی ژان با سن انتهای نئوپروتروزوئیک، در آن سنگ‌هایی همچون انواع آمفیبولیت و متامافیک به همراه گنایس‌های گرانیتی، شیست‌ها، مرمر و کوارتزیت رخمنون دارند. گنایس‌های گرانیتی قلعه دژ که در ۹ کیلومتری شمال‌غرب شهر ازنا در بخش مرکزی این کمپلکس واقع شده است، به شدت میلونیتی بوده و از نظر ژئوشیمیایی پروتولیت آنها گرانیت‌های A-type فرض شده که در یک موقعیت بعد از کوهزایی جایگزین گردیده است (شبانیان و همکاران، ۲۰۰۹). در مطالعه شاکراردکانی و همکاران (۲۰۱۵) بر روی سنگ‌های بخش شمال‌غربی کمپلکس دگرگونی و آذرین ژان (در شمال شرقی روستای ژان، شمال درود) ژئوشیمی تنوعی از سنگ‌های منطقه شامل ارتونایس (گرانیتی و ترونجمیتی)، گابرو و سنگ‌های متامافیک شامل متاگابرو، آمفیبولیت و شیست سیز مورد بررسی قرار گرفته است. در مطالعه صورت گرفته منشا و پروتولیت متامافیک‌های ناحیه، بازالت‌های MORB (E-type) فرض شده‌اند که در زون‌های فروزانش تشکیل شده‌اند. این نکته مهم است که متامافیک‌های کمپلکس ژان یکنواخت نبوده و دارای تنوع گسترده‌ای از ترکیب‌های سنگ‌شناسی

مقدمه

از نظر جغرافیایی منطقه مورد مطالعه در نزدیکی شهر ازنا در استان لرستان واقع شده است. از نظر زمین‌شناسی این منطقه بخشی از پهنه زمین‌ساختی سندج سیرجان در نظر گرفته می‌شود. پهنه سندج-سیرجان (SSZ) یک حاشیه فعال با راستای شمال‌غربی-جنوب شرقی در طی همگرایی بین صفحات عربی و ایران است (عزیزی و جهانگیری، ۲۰۰۸). این پهنه بخشی از کوهزایی زاگرس بوده که خود در امتداد کمربند کوهزایی آلب-هیمالیا قرار دارد (بربریان و کینگ، ۱۹۸۱؛ ریکو، ۱۹۷۶). سنگ‌های دگرگونی ناحیه‌ای به صورت کمپلکس‌های دگرگونی (عمولاً همراه با سنگ‌های گرانیتوئیدی) در این پهنه فراوان می‌باشند. مجموعه سنگ‌های دگرگونی عمدتاً شامل ارتونایس (گنایس‌های گرانیتی)، شیست، فیلیت، مرمر، آمفیبولیت، پارگنایس، کوارتزیت و بهدرت اکلوژیت می‌باشد (جمشیدی بدر و همکاران، ۲۰۱۳؛ داودیان و همکاران، ۲۰۱۶). در این بین، سنگ‌های آمفیبولیت (\pm شیست سیز و گارنت آمفیبولیت) بخش مهمی از این کمپلکس‌های دگرگونی را تشکیل می‌دهند که عمولاً با گنایس همراهی می‌گردد. یکی از کمپلکس‌های مهم دگرگونی و آذرین پهنه سندج-سیرجان، کمپلکس ژان در ناحیه ازنا، درود و بروجرد در شمال‌غرب کشور می‌باشد که دارای گسترش نسبتاً زیادی بوده و ناحیه همراه بخشی از آن می‌باشد. در کمپلکس ژان با وسعتی حدود ۳۵۰ کیلومتر مریع علاوه بر گسل‌های تراستی، ساختارهای دگرشکلی داکتیل (شکل‌پذیر) شامل چین‌های فشرده‌هم شیب به همراه برگوارگی و خطوارگی در توالی‌های دگرگونی و هم‌چنین سنگ‌های پلوتونیک توسعه یافته‌اند (محجل و فرگومن، ۲۰۰۰). در ناحیه ازنا-درود یک توالی

آنها را متعلق به پرکامبرین می‌دانند (تیله، ۱۹۶۶؛ برته و همکاران، ۱۹۷۴). دو حادثه اصلی دگرشکلی در این کمپلکس دگرگونه قابل تشخیص بوده به طوری که حادثه اول سبب ایجاد شیستوزیته، چین خوردگی و ایجاد دگرگونی در حد رخساره دگرگونی گرین‌شیست تا آمفیبوليت گردیده است و حادثه دوم سبب ایجاد دگرگونی در حد رخساره گرین‌شیست و ایجاد فولیاسیون میللونیتی و هم‌چنین نفوذ توده‌های گرانیتی همزمان با دگرشکلی شده است (محجل و فرگوسن، ۲۰۰۰). هم‌چنین شاکری (۱۳۸۶) معتقد است که منطقه ازنا تحت تاثیر سه مرحله دگرشکلی قرار گرفته است و یک مدل تکتونیکی همگرای راستبر را برای نفوذ توده گرانیت ازنا و میللونیتی شدن همزمان آن ارائه می‌دهد. آمفیبوليتهای پیرعبد دارای رخمنونهای کوچک هستند و در کنار آنها رخمنونهایی از متاگرانیت میللونیتی و شیستهای دیده می‌شود. این متاگرانیت میللونیتی در ناحیه ازنا از تیپ A2 می‌باشد که محیط پس از کوهزایی را نشان می‌دهد (شبایان و همکاران، ۲۰۰۹).

مواد و روش‌ها

پس از نمونه‌برداری با ثبت مختصات جغرافیایی توسط دستگاه GPS (شکل ۱ ب) از بین نمونه‌های سالم تعداد ۳۰ مقطع نازک تهیه شد، سپس بررسی دقیق کانی‌شناسی-پترولوزیکی و ریزاساختاری نمونه‌ها با استفاده از میکروسکوپ پلاریزان المپیوس صورت گرفت. هم‌چنین به منظور بررسی و مطالعه رفتار ژئوشیمیایی عناصر اصلی، کمیاب و نادر خاکی ۶ نمونه بوسیله روش ICP-ICP-MS در آزمایشگاه ACME در کشور کانادا مورد آنالیز واقع شد. با استفاده از نرم‌افزارهای Excel و COREL GCDKIT ۸X نمودارهای تشخیصی (تفکیکی) مربوط به آنها ترسیم گردید.

با ماهیت پتروژنزی مختلف هستند و در تنها مطالعه صورت گرفته بر روی سنگ‌های متابازیت و آمفیبوليت کمپلکس بزرگ دگرگونی ژان بخش محدود و تعداد کمی از این سنگ‌ها مورد بررسی واقع شده است.

یکی از مناطق مناسب که در آن تعداد قابل توجهی توده‌های آمفیبوليتی کمپلکس ژان بروندز دارند مربوط به اطراف امامزاده پیرعبد در نزدیکی شهر ازنا (در بخش جنوب‌شرقی کمپلکس) می‌باشد. از آنجایی که بر روی آمفیبوليتهای پیرعبد (به عنوان بخشی از کمپلکس ژان) هیچگونه مطالعه پترولوزیکی صورت نپذیرفته، در این مقاله تلاش خواهد شد تا با استفاده از مطالعات پتروگرافی و داده‌های ژئوشیمیایی منشا سنگ مادر (پروتولیت رسوبی یا پارا-آمفیبوليت و پروتولیت آذرین یا ارتو-آمفیبوليت) و محیط تکتونیکی تشکیل این سنگ‌ها را تعیین نماییم.

محدوده مورد مطالعه

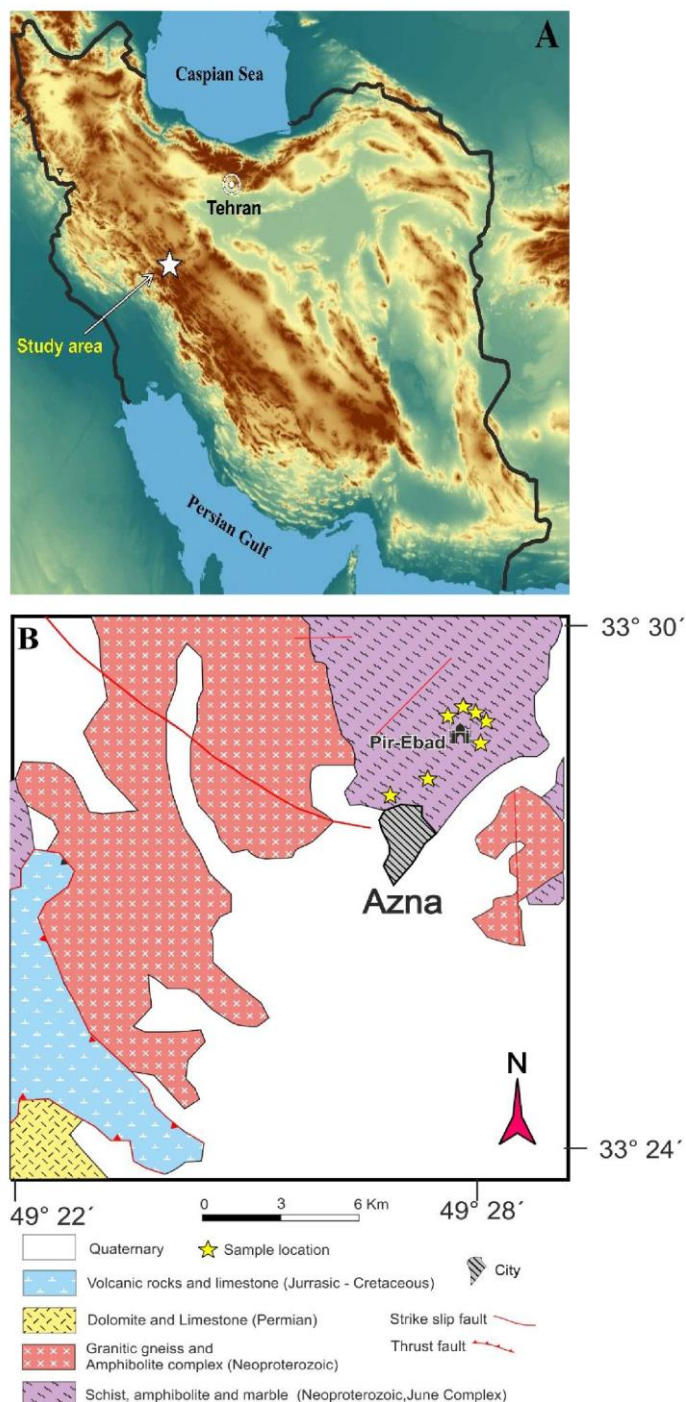
سنگ‌های آمفیبوليتی پیرعبد در عرض‌های جغرافیایی "۳۳°۲۹'۳۹.۶" تا "۳۳°۲۷'۵۶.۸" شمالی و طول‌های جغرافیایی "۴۹°۲۶' ۲۶.۹" تا "۴۹°۲۸'۴۰.۸" شرقی (شکل ۱)، در شمال شرقی شهرستان ازنا و در بخش مرکزی پهنه ساختاری سنندج-سیرجان قرار دارد. منطقه مورد مطالعه بخشی از نقشه چهارگوش خرم‌آباد با مقیاس ۱:۲۵۰۰۰۰ است (سهندی و همکاران، ۲۰۰۶). این بخش از پهنه سنندج-سیرجان نیز مانند سایر بخش‌های این پهنه تحت تأثیر فازهای دگرگونی متعددی قرار گرفته است. منطقه مورد مطالعه به عنوان بخشی از کمپلکس دگرگونه ژان (ازنا-دروود) است که عمدتاً متشکل از شیستهای-میکاشیستهای، آمفیبوليتهای، مرمرهای به همراه گسترش کمتری از متادولومیت‌ها و کوارتزیت‌ها است که از لحاظ زمانی

می‌دهند (کولیوند و همکاران، ۱۳۹۲، شکل ۲(H)). کانی‌شناسی آمفیبولیت‌های توده‌ای، فولیاسیون‌دار و تحول یافته ساده می‌باشد به‌طوری‌که بخش اعظم این سنگ‌ها از درشت بلورهای آمفیبول، کوارتز و پلاژیوکلاز تشکیل شده است، هرچند که زوئیزیت، روتیل، تیتانیت و کانی‌های اپاک نیز کم و بیش در این سنگ‌ها حضور دارند. در آمفیبولیت‌هایی که در اثر سیر قهقرایی و تاثیر دگرشکلی دچار تحول گردیده‌اند و تا حدودی به شیست سبز تبدیل شده‌اند، کانی‌هایی نظیر اپیدوت، اکتینوت، کلینوزوئیزیت، تیتانیت، بیوتیت، کلریت، هماتیت و آلبیت حضور گسترده‌تر و قابل توجه‌تری دارند. در مراحل پیشرفت‌تر قهقرایی، آمفیبول علاوه بر اکتینوت به کلریت نیز تبدیل شده است. آمفیبول: آمفیبول‌ها با پلئوکروئیسم سبز روشن تا سبز تیره از نظر اندازه درشت‌دانه تا ریزدانه بوده و از لحاظ فرم بی‌شکل تا شکل‌دار می‌باشند. آمفیبول‌ها در مقاطع عرضی دارای دو دسته رخ متقاطع واضح و در مقاطع طولی یک دسته رخ دارند و گاهی منطقه‌بندی نشان می‌دهند (شکل ۲ E و F). در اثر تجزیه به کلریت، بیوتیت، اپیدوت و کانی‌های کدر تبدیل شده‌اند.

که در ادامه به بررسی و تفسیر آنها پرداخته می‌شود.

نتایج

سنگ‌شناختی آمفیبولیت پیرعبداد
رخمنون سنگ‌های پیرعبداد به صورت آمفیبولیت توده‌ای، آمفیبولیت فولیاسیون دار و آمفیبولیت تحول یافته به شیست سبز می‌باشند که توسط متاگرانیت گناهای و شیست‌ها همراهی می‌گردد. آمفیبولیت‌های پیرعبداد دارای رخمنون‌های کوچک و پراکنده هستند (شکل ۲(A)) و به رنگ‌های سبز تیره تا متمایل به سیاه دیده می‌شوند و در ظاهر به صورت میلیونیتی و پوست پلنگی هستند (شکل ۲(B)). آمفیبولیت‌های پیرعبداد معمولاً دارای خطواره و برگواره هستند (شکل ۲(C) و D) که بیانگر عملکرد یک فاز دگرشکلی شدید بر منطقه می‌باشد. بافت عمدۀ آمفیبولیت‌ها گرانولار و ناهم بعد دانه است. در اثر کشیدگی کانی‌ها در آن نوعی جهت‌یافتنگی ترجیحی به وجود آمده است. ریزساختارهای میلیونیتی (ماهی آمفیبول، خمیدگی بلور آمفیبول، ماکل دگرشکلی پلاژیوکلاز و خاموشی موجی کوارتز) به وفور در این سنگ‌ها مشاهده می‌گردد که سوی برش راستبر را نشان



شکل ۱: (A) موقعیت منطقه مورد مطالعه روی نقشه ایران، (B) نقشه زمین‌شناسی ساده از منطقه ازنا با تغییرات از مجلد (۳). (۲۰۰).

SiO_2 پایین (Wt%) (۴۶/۵۰-۵۰/۴۵)، Al_2O_3 متوسط (Wt%) (۱۳/۸۸-۱۵/۴۴)، CaO بالا (Wt%) (۵۶-۳۶ Wt%)، MgO متوسط (Wt%) (۸/۱۲-۱۲/۴۷)، TiO_2 بالا (Wt%) (۱۰/۲۳-۱۳/۳۱)، $\text{Fe}_2\text{O}_3\text{tot}$ (۶/۸-۴۳/۱۹ Wt%)، عدد منیزیمی (۱/۹۳-۱/۰۶)، V (Mg# = ۵۶/۰۷ ppm)، Sr (۳۶۸-۲۳۶ ppm) و Pb (۲۱۲-۱۵۴ ppm) و LOI (۱۰/۰-۲/۰ Wt%) را می‌توان به حضور کانی‌های آبدار نظیر آمفیبول، اپیدوت و کلریت مربوط دانست که طی فرآیندهای دگرگونی ناحیه‌ای در این سنگ‌ها تشکیل شده‌اند. آمفیبولیت‌ها می‌توانند حاصل دگرگونی یک منشا سنگ‌های آذرین و یا یک منشا سنگ‌های رسوبی نظیر شیل‌های آهکی یا دولومیتی ایجاد شده باشند (لیک، ۱۹۶۴). معیارهای ژئوشیمیایی همگی نشان‌دهنده یک منشاء آذرین برای این آمفیبولیت‌ها (ارتو آمفیبولیت‌ها) است، به‌طوری‌که: پارامترهای نیگلی (al-alk) در برابر c (شکل ۳)، مقادیر بالای Cr/Th (> 100)، مقادیر پایین Th/La (< 15)، Th/La ، مقادیر Zr/Ti و Ni پایین، بالا بودن میزان کروم و کبات همگی نشان‌دهنده منشاء آذرین به‌عنوان پروتولیت این سنگ‌ها است (جدول ۱). (کوکاک، ۱۹۹۳؛ کوکاک، ۲۰۰۲؛ لیک، ۱۹۶۴؛ رولینسون، ۱۹۶۶؛ تایلور و مکلنان، ۱۹۸۵؛ کتراد و ایلوت، ۱۹۸۵) (شکل‌های A و B). با توجه به مقدار سیلیس، سنگ‌های منطقه پیرعبداد در محدوده آذرین بازیک قرار می‌گیرند. به‌طوری‌که در نمودار TAS (لمایر، ۱۹۸۹) و براساس طبقه-بندی شیمیایی سنگ‌های آذرین (دولاروش و همکاران، ۱۹۸۰) ارائه شده است، نمونه‌های آمفیبولیت پیرعبداد در محدوده بازالت ساب آلکالن قرار می‌گیرند (شکل ۳ و D). با توجه به نمودار Al_2O_3 بر حسب TiO_2 (پیرس، ۱۹۸۲؛ ژولیان و

تجزیه به کلریت در ابتدا بیشتر در امتداد کلیواژهای آمفیبول صورت گرفته و سپس به تدریج کاملاً جایگزین آمفیبول می‌گردد، این جایگزینی همراه با آزاد شدن میزان قابل توجهی از تیتان و تشکیل تیتانیت نمایان می‌گردد (شکل ۲G).

پلازیوکلاز: پلازیوکلاز فراوان‌ترین کانی روشن آمفیبولیت‌های است که با ماکل‌های پلی‌سنتتیک قابل تشخیص‌اند. برخی از بلورهای پلازیوکلاز ماکل‌های دگر‌شکلی نشان می‌دهند. پلازیوکلاز آلبیت نیز در یک حالت نوافرم یا نوظهور در این سنگ‌ها حضور یافته است.

روتیل: روتیل نیز در این سنگ‌ها به صورت بلورهای ریز قابل تشخیص است که معمولاً توسط تیتانیت احاطه شده است (شکل ۲I).

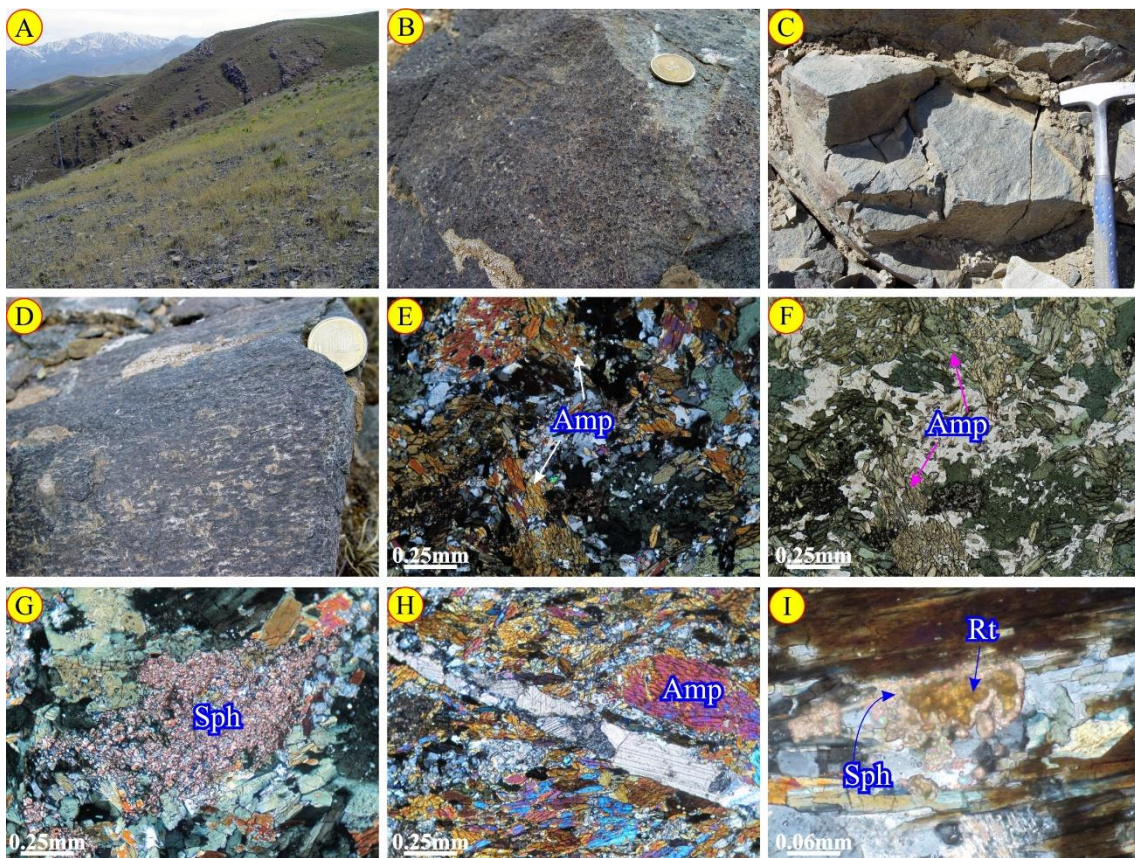
کوارتز: این کانی اغلب به صورت ریزبلور، بی‌شکل، دارای خاموشی موجی و گاهی به صورت عدسی در فضای بین سایر بلورها قرار می‌گیرد.

بیوتیت: بیوتیت‌ها با پلئوکروئیسم سبز قهوه‌ای-قهوهای روشن و بی‌شکل تا نیمه‌شکل دار هستند. بیوتیت نیز بر روی آمفیبول نقش بسته است و کشیدگی آنها در جهت کشیدگی آمفیبول‌ها است. ظاهرآ میزان دگر‌شکلی سنگ هر قدر شدیدتر باشد، حضور بیوتیت فراوان‌تر است. به نظر می‌رسد بیوتیت‌ها حاصل دگرسانی آمفیبول‌ها می‌باشند که در واقع نشان‌دهنده نوعی رشد میرمکیت است.

بلورهای فلدسپات پاتاسیک در برخی از آمفیبولیت‌های مورد مطالعه به میزان جزئی حضور دارد. آپاتیت به میزان کمی به صورت دانه‌های مدور و معمولاً کشیده دیده می‌شود.

ژئوشیمی: نتایج آنالیز شیمیایی سنگ کل (عناصر اصلی، کمیاب و نادر خاکی) شش نمونه آمفیبولیت با حداقل آلتراسیون در جدول ۱ ارائه شده است. براساس جدول ۱ این آمفیبولیت‌ها دارای ویژگی‌های زیر هستند:

مکریت، ۱۹۹۳) ترکیبات آمفیبولیت‌ها سازگار با مایعات بازالتی است (شکل ۳F).



شکل ۲: (A) تصویری از رخمنون سنگ‌های منطقه پیرعبداد، در جلوی تصویر خرد واریزه‌ها و رخمنون‌های کوچک آمفیبولیت دیده می‌شود و در زمینه عکس رشته کوه‌های اشتران کوه که پوشیده از برف است مشاهده می‌شود (دید عکس به سمت جنوب غرب). (B) تصویری از آمفیبولیت‌های پیرعبداد با بافت پوست پلنگی و نسبتاً درشت بلور. تصویری از رخمنون آمفیبولیت‌های پیرعبداد که دارای فولیاسیون و لیناسیون واضح می‌باشد به ویژه خطواره کششی C باد. (D) تصویری از خطواره کششی در آمفیبولیت‌های پیرعبداد. (E) تصویر میکروسکوپی از بلورهای آمفیبول در متنی از کوارتز، XPL، پهنه‌ای میدان دید ۰.۱.۸mm. (F) تصویر میکروسکوپی بلورهای آمفیبول در مقطع عرضی با رخ‌های متقطع، PPL، پهنه‌ای میدان دید ۰.۱.۸mm. (G) تشکیل تیتانیت اطراف بلورهای آمفیبول، XPL، پهنه‌ای میدان دید ۰.۱.۸mm. (H) تصویر بلورهای احاطه شده روتیل توسط بلور آمفیبول به صورت ماهی آمفیبول، XPL، پهنه‌ای میدان دید ۰.۱.۸mm. (I) تصویر بلورهای احاطه شده روتیل توسط تیتانیت، XPL، پهنه‌ای میدان دید ۰.۰۴۵mm.

آمفیبولیت‌های پیرعبداد در محدوده بازالت واقع شده‌اند (شکل ۴). براساس نمودار آلکالی-سیلیس (ایروین و باراگار، ۱۹۷۱) و نمودار AFM (ایروین و باراگار، ۱۹۷۱) آمفیبولیت پیرعبداد

در نمودار Nb/Y-Zr/Ti (پیرس، ۱۹۹۶)، مقادیر Zr/Ti (که به عنوان یک ضریب یا اندیس تفریق به کار می‌رود) در مقابله مقادیر Nb/Y (که معرف و متمایز کننده آلکالینیته یا قلیائیت است)،

مادر این آمفیبولیت‌ها از نوع ماگماهای سری تولئیتی و MORB می‌باشد (هاپسون و همکاران، ۲۰۰۸).

ماهیت سابآلکالن از نوع تولئیتی دارند (شکل‌های ۴/۸۶ C و B ۴). همچنانی بالا بودن نسبت Y/Nb مؤید سابآلکالن بودن نمونه‌هاست. درصد نسبتاً بالای TiO₂ نشان‌دهنده این است که سنگ

جدول ۱: جدول داده‌های آنالیز ICP-OES و ICP-MS عناصر اصلی بر حسب درصد وزنی، عناصر فرعی، عناصر کمیاب و REE ها بر حسب ppm در آمفیبولیت‌های پیرعبد.

Element	KL2-11	KL2-14	KL2-6	KL2-8	KL2-18	N8-3
SiO ₂ (wt%)	46.60	48.81	49.38	48.77	48.65	50.45
Al ₂ O ₃	14.22	13.88	.00.14	14.19	14.31	15.44
Fe ₂ O ₃ *	12.36	13.31	13.01	13.35	13.27	10.23
MgO	6.56	7.04	6.82	6.69	6.70	8.36
CaO	12.47	9.99	10.08	10.06	10.04	8.12
Na ₂ O	2.58	2.40	2.92	2.99	3.05	3.32
K ₂ O	0.46	0.61	0.31	0.37	0.40	0.73
TiO ₂	1.93	1.79	1.83	1.90	1.90	1.06
P ₂ O ₅	0.20	0.20	0.17	0.23	0.2	0.14
MnO	0.33	0.19	0.2	0.18	0.19	0.16
LOI	2.0	1.5	1.0	1.0	1.0	1.8
Total	99.71	99.72	99.72	99.73	99.71	99.81
Ni (ppm)	17.2	25.0	29.6	15.9	47.1	47.1
Zn	107	84	80	101	153	153
Cr	239.5	280.5	232.6	266.8	260.0	273.7
Mo	0.3	0.6	0.7	0.4	0.7	0.7
Cu	17.2	67.4	70.9	33.7	31.4	31.4
Pb	37.4	37.8	30.8	49.9	26.5	26.5
As	3.8	4.1	1.5	2.1	3.0	3.0
Ba	60	85	44	65	135.6	65
Sc	45	45	45	45	34	44
Co	36.5	42.4	44.5	38.8	35	40.2
Cs	<0.1	0.2	0.1	0.4	0.6	40.2
Ga	18.5	17.8	19.0	16.7	15.7	17.9
Hf	3.7	3.9	3.8	3.7	2.3	17.9
Nb	7.7	7.0	7.7	7.7	4.2	7.6
Rb	26.0	25.2	6.4	12.2	27.1	12.9
Sr	212.0	167.4	172.2	154.0	167.8	166.0
Ta	0.4	0.4	0.2	0.5	0.6	0.6
Th	1.1	1.2	1.4	1.1	1.2	1.4
U	0.8	0.5	0.8	0.4	0.6	0.5
V	368	360	350	346	236	341

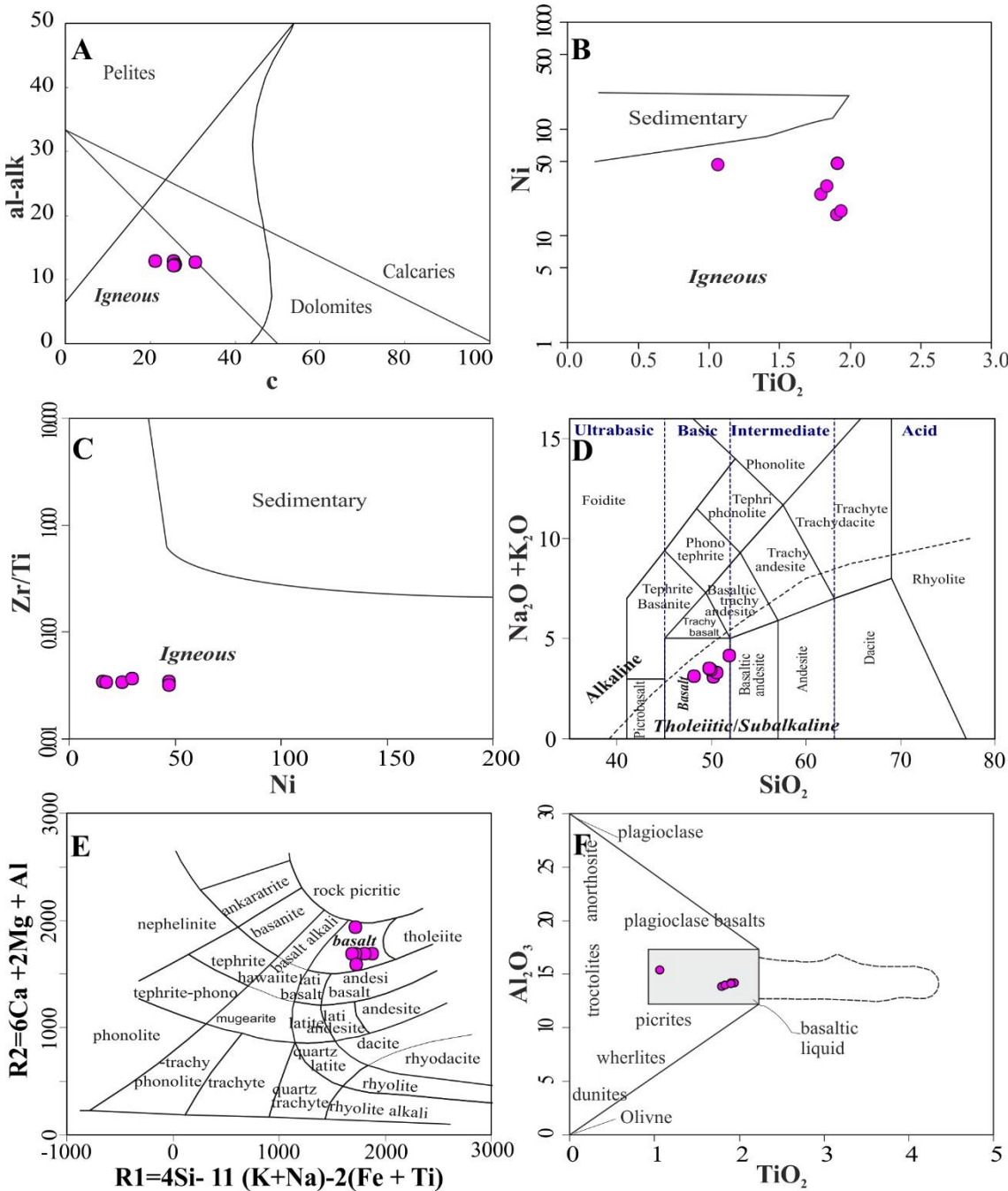
W	0.6	0.6	<0.5	0.7	2.2	0.8
Zr	135.8	124.5	149.8	138.5	64.6	136.5
Y	37.4	31.6	33.7	35.6	20.1	36.5
La	13.3	10.6	12.8	12.3	8.1	13.8
Ce	27.8	25.7	26.9	28.0	18.6	28.8
Pr	4.03	3.48	3.60	3.86	2.54	4.00
Nd	19.0	15.0	16.6	15.5	11.8	18.8
Sm	4.75	4.46	4.77	4.42	2.90	4.99
Eu	1.59	1.53	1.47	1.71	1.13	1.72
Gd	6.37	5.58	5.60	6.12	3.55	6.07
Tb	1.11	0.99	1.05	1.04	0.64	1.07
Dy	6.44	6.19	6.83	6.72	3.80	6.28
Ho	1.48	1.25	1.34	1.39	0.79	1.45
Er	3.99	3.68	3.92	3.76	2.18	4.01
Tm	0.57	0.52	0.51	0.55	0.32	0.55
Yb	3.08	3.26	3.57	3.64	2.10	3.64
Lu	0.54	0.48	0.54	0.54	0.35	0.57
Cr/Th	217.7	233.8	166.2	242.6	216.7	195.5
Th/La	0.08	0.11	0.11	0.09	0.15	0.10
Zr/Ti	0.011	0.010	0.012	0.011	0.005	0.019

Fe_2O_3^* = $\text{Fe}_2\text{O}_3^{\text{total}}$ is given as Fe_2O_3
LOI = lost on ignition

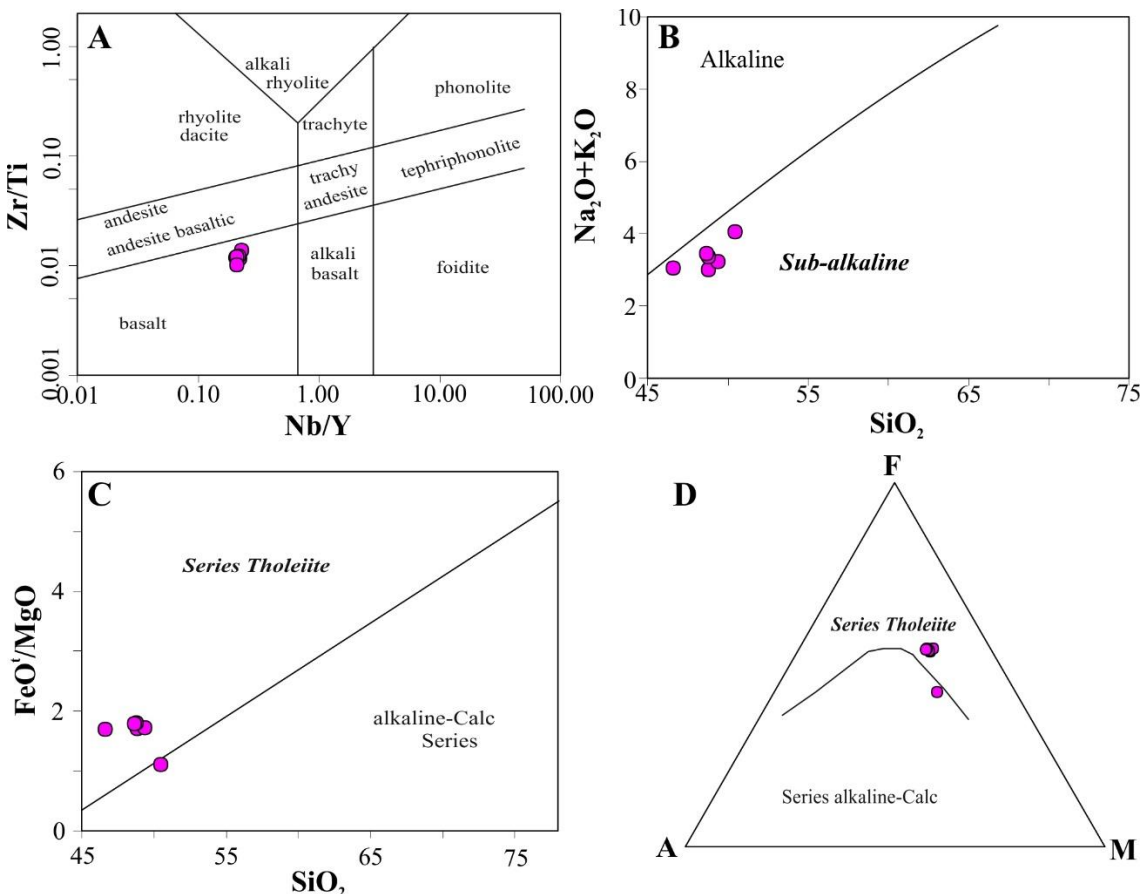
همکاران، ۱۹۹۴؛ تامپسون، ۱۹۸۴). نمودار عناصر کمیاب به هنگارشده به مانتوی اولیه (سان و مک دوناف، ۱۹۸۹) و مورب (پیرس، ۱۹۸۳) تقریباً یکنواخت می‌باشد. عناصر لیتوفیل بزرگ یون REEها و HFSE غنی‌شدگی نشان می- نسبت به آنومالی منفی Nb و Ti و عناصر HFSE مشابه با دهنده (اشکال ۵ B و C). غنی‌شدگی از LILEها، آنومالی نامشخصی (آنومالی ضعیف مثبت و منفی) خصوصیات ژئوشیمیایی سنگ‌های تشکیل شده در حاشیه صفحات همگرا (پیرس، ۱۹۸۲؛ هاکسورد و همکاران، ۱۹۹۳؛ ساندرس و همکاران، ۱۹۹۱) برای آمفیبوليتهای مورد مطالعه می‌باشند. تغییرات بسیار زیاد باریم و استرانسیم نسبت به سایر LILEها می‌تواند به واسطه حرک بالای این عناصر طی دگرگونی باشد. از طرف دیگر Zr و Yb و HFSE HREE و REE آنومالی منفی نسبت به سایر REEها می‌باشد. این آمفیبوليتهای تمیز و ارسلان، زیرا هورنبلند توسط غنی‌شدگی REEها و MREE مشخص می‌شود (تیرلوال و

الگوی REE نرمال شده به کندریت غنی‌شدگی اندک LREE را نسبت به HREE (میزان CeN/YbN از ۲/۱۹ تا ۲/۹۱ و میزان LaN/YbN از ۱/۹۵ تا ۲/۳۳ نشان می‌دهد (شکل ۵ A) که بیانگر مagma نوع E-MORB و بیانگر ذوب بخشی پایین و یا حضور احتمالی گارنت در منشأ می‌باشد (وبلسون، ۱۹۸۰؛ چو و همکاران، ۲۰۰۷). همچنین آنومالی نامشخصی (آنومالی ضعیف مثبت و منفی) از Eu/Eu* از ۱/۲۶ تا ۱/۴۷ (شکل ۵ A). الگوی HREE ها مسطح و صاف است می‌گردد. الگوی GdN/LuN (شکل ۵ A). الگوی Fروفته REE نرمال شده به کندریت نشان دهنده نقش مشخص تفریق آمفیبول و پیروکسن در ایجاد این آمفیبوليتهای تمیز (تمیز و ارسلان، ۲۰۰۹)، زیرا هورنبلند توسط غنی‌شدگی REEها و بالاخص MREE مشخص می‌شود (تیرلوال و

نشان می‌دهند که نشانه ابقاء این عناصر در زیرکن،
روتیل، آپاتیت و تیتانیت است.



شکل ۳: A) تصویر مقادیر نیگلی al-alk در برابر c (لیکه، ۱۹۶۴) برای آمفیبولیت‌های پیرعباد که تمامی نمونه‌ها در محدوده آذربین قرار می‌گیرند. B) موقعیت نمونه‌ها در نمودارهای Ni در مقابل Zr/Ti. C) TiO₂ در مقابل Ni که همگی در محدوده آذربین قرار می‌گیرند (کوکاک و همکاران، ۲۰۰۷). D) موقعیت آمفیبولیت‌های پیرعباد بر روی نمودار مجموع آکالی در برابر سیلیس (لمایتر، ۱۹۸۹)، تمام نمونه‌ها در قلمرو بازالت قرار می‌گیرند. E) نمودار Al₂O₃ بر حسب TiO₂ که ترکیبات آمفیبولیت‌ها سازگار با مایعات بازالتی است.



شکل ۴: (A) نمودار تقسیم‌بندی آمفیبولیت‌های پیرعبد براساس Zr/Ti در مقابل Nb/Y (پیرس، ۱۹۹۶). (B) نمودار آلالی در مقابل SiO₂ برای آمفیبولیت‌های پیرعبد، همه نمونه‌ها ماهیت ساب آلالان دارند (ایروین و بارگار، ۱۹۷۱). (C) نمودار FeO*/MgO در برابر SiO₂ (میاشیرو، ۱۹۷۵) برای آمفیبولیت‌های پیرعبد (D) موقعیت آمفیبولیت‌های پیرعبد بر روی نمودار AFM.

فرونش) در برابر Nb/Yb (معرف باروری گوشه) نمونه‌ها موقعیت BABB را نشان می‌دهند (شکل ۶). در نمودار La/Nb در برابر Th/Nb (تامسون و همکاران، ۱۹۸۴)، نمونه‌های آمفیبولیت پیرعبد ویژگی محیط تکتونیکی کمان را نشان می‌دهند (شکل ۶). میزان پایین Ta نسبت به Th، همراه با آنومالی منفی Nb بیانگر اختلاط بین منشاهای کمان (BABB) می‌باشد که توسط نمودار Y در برابر La/Nb تأیید می‌شود (شکل ۶C). نسبت

بحث

براساس داده‌های ژئوشیمیایی، آمفیبولیت پیرعبد دارای سنگ مادر آذرین از نوع بازالت تولکیتی Zr, Th, Y, Sc, Ti, Hf, Ta, Nb, P و طی دگرسانی و دگرگونی غیر متحرک هستند لذا با بهره‌گیری از آنها می‌توان منشاء مagma و محیط تکتونیکی آمفیبولیت‌های پیرعبد را توسط میزان بالای ورودی‌های فرونش مثل Sr, Ba و مشخص نمود (سینتون و فریر، ۱۹۸۷؛ سینتون و همکاران، ۲۰۰۳؛ پیرس و استرن، ۲۰۰۶). در نمودار Ba/Yb (معرف ورودی

می‌کنند. توریم از رسوبات اسلب حاصل می‌گردد و میزان آن با افزایش ذوب‌شدگی اسلب و دهیدراسیون در زون فرورانش زیاد می‌شود (پیرس، ۲۰۰۸؛ عزیزی و همکاران، ۲۰۱۱)، بنابراین نسبت Nb/Th به اثر مشکله فرورانش اشاره دارد (هادی و همکاران، ۲۰۱۳). در مقایسه با الگوی بازالت جزایر قوسی، سنگ‌های مورد مطالعه غنی‌شدگی بیش‌تر از عناصر ناسازگار و آنومالی ضعیفتری از Ti و Nb نشان می‌دهند که می‌تواند دال بر وجود یک کمان نابالغ باشد (فرهات و همکاران، ۲۰۰۴) و اینکه حوضه پشت کمان به قدر کافی باز نشده تا تشکیل پوسته اقیانوسی را بدهد. الگوهای REE موقعیت حدواتر بین تولیت جزایر قوسی و بازالت‌های درون صفحه‌ای نشان می‌دهند، بنابراین ماگما می‌تواند از اختلاط بین مشکله گوشه‌ایی تهی شده و یک مشکله پوسته‌ایی حاصل شده باشد. همچنین وجود آنومالی منفی Nb، میزان Th/La و غنی‌شدگی از LREE در نمودارهای بالای A ۵ به هنجارشده به مانتوی اولیه و مورب (اشکال C) و (C). منشأ مانتوی اولیه یا آستنوسفریک به همراه آلودگی پوسته‌ای را برای آمفیبولیت‌های پیرعبداد پیشنهاد می‌کند. برای تعیین ترکیب مانتوی منشأ و درجه ذوب بخشی، از نمودار TiO_2/Yb در مقابل Nb/Yb (شکل ۷ A) استفاده می‌شود. این آمفیبولیت‌ها دارای میزان TiO_2/Yb و Nb/Yb متوسط هستند که شاخص BABB است به طوری که اکثر نمونه‌ها در محدوده E-MORB قرار می‌گیرند. این محدوده حالت تدریجی از MORB و IAT است (ساندرس و همکاران، ۱۹۹۱). منشأ آستنوسفریک ماگمای پروتولیت آمفیبولیت پیرعبداد از حدود تقریباً ۲۰ درصد ذوب بخشی اسپینل لرزولیت گوشه‌های حاصل شده است (شکل ۷ B). مشکله پوسته‌ای ناشی از غنی‌شدگی طی

La/Nb کمتر از ۵ از ویژگی‌های BABB می‌باشد (فلوید و همکاران، ۱۹۹۱). همچنین در نمودار Th/Yb در برابر Nb/Yb (پیرس و پیت، ۱۹۹۵)، تمامی نمونه‌ها در ناحیه همپوشانی بین بازالت‌های کمان قاره و اقیانوس قرار می‌گیرند که مشابه بازالت‌های پشت کمان قاره‌ای می‌باشند (شینجو و همکاران، ۱۹۹۰). بازالت‌های تشکیل شده در محیط‌های تکتونیکی مرتبط با فرورانش (مثل حواشی قاره‌ها، جزایر قوسی و حوضه‌های پشت کمان آغازین یا حوضه‌های درون کمان (intra-arc) توسط غنی‌شدگی‌های متفاوت در Sr, K, LILE و HFSE (Rb, Ba, Th Zr, Hf, Ti , Nb) مشخص می‌شوند (فرهات و همکاران، ۲۰۰۴). در حالی که بازالت‌های درون صفحه‌ای به جزء عناصر سازگار با گارت (Yb, Y) دارای الگوهای خمیده و غنی شده نسبت به NMORB هستند (پیرس، ۱۹۸۲؛ فرهات و همکاران، ۲۰۰۴). سنگ‌های مورد بررسی غنی‌شدگی از LILE و آنومالی Nb نشان می‌دهند که از مشخصه تولیت‌های جزایر قوسی است. همچنین غنی‌شدگی عناصر از Sr تا Ti از مشخصه‌های تولیت درون صفحه‌ای است. هر دو مشخصه با ویژگی بازالت‌های تحولی در مجاورت نواحی قاره‌ای طی مراحل اولیه گسترش پشت کمان و یا ریفتینگ پشت کمان مطابقت دارد (فرهات و همکاران، ۲۰۰۴). غلظت عناصر باریم، استرانسیم و توریم (ورودی فرورانش) در موقعیت تکتونیکی MORB پایین است (فرهات و همکاران، ۲۰۰۴). آنومالی منفی Nb و آنومالی مثبت Th در نمودار به هنجار شده به NMORB از ویژگی‌های معمول سنگ‌هایی است که گوه مانتویی در بالای زون فرورانش است (ساندرس و همکاران، ۱۹۸۰). توریم و نیوبیوم عناصر ناسازگاری هستند که با کسر مایع سنگ‌های به طور بخشی در حال ذوب شدن پیوند برقرار

نابالغ دارد و غنی شدگی از عناصر کمیاب سبک نظیر Th، Ba و Rb بازتابی از تأثیر سیالات ناشی از صفحه فرورونده است. با توجه به ویژگی‌های ژئوشیمیایی از جمله روند تولئیتی، شکل‌گیری آمفیبولیت‌های پیرعبد را می‌توان به بازشدگی پشت کمان (BABB) نسبت داد. منشأ آستنوسفریک ماقمای پروتولیت آمفیبولیت پیرعبد از حدود تقریباً ۲۰ درصد ذوب بخشی اسپینل لرزولیت گوشه حاصل شده است.

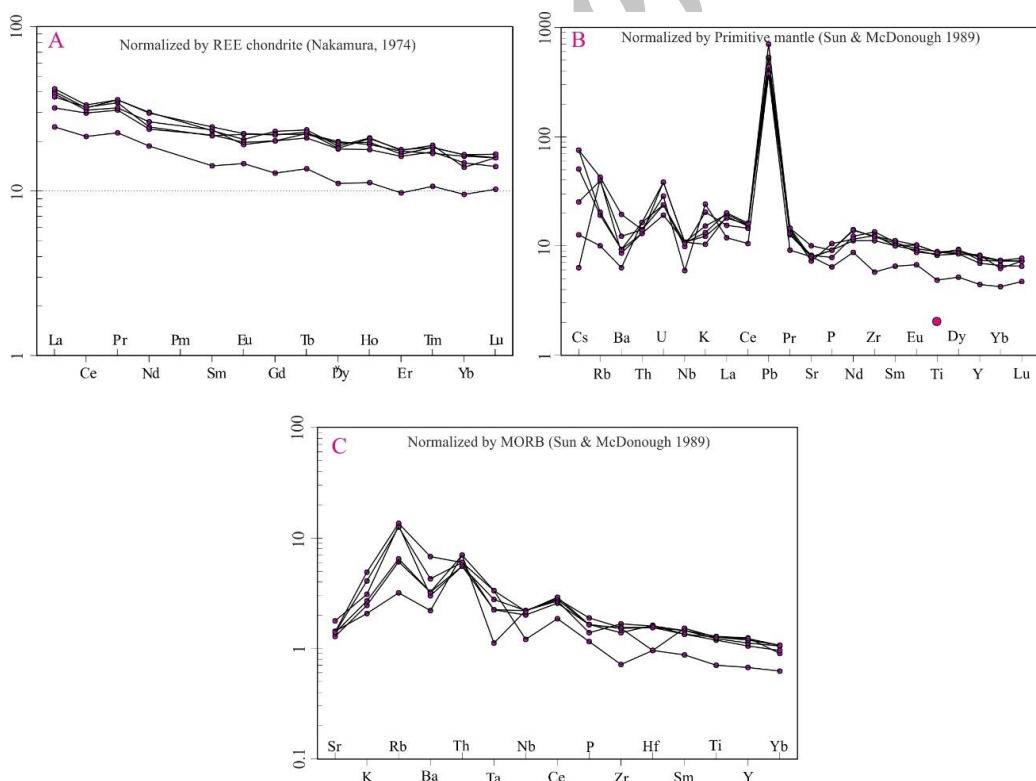
سپاسگزاری

از دانشکده منابع طبیعی و علوم زمین دانشگاه شهرکرد به خاطر حمایت مالی از پایان‌نامه کارشناسی ارشد سپاسگزاری می‌گردد.

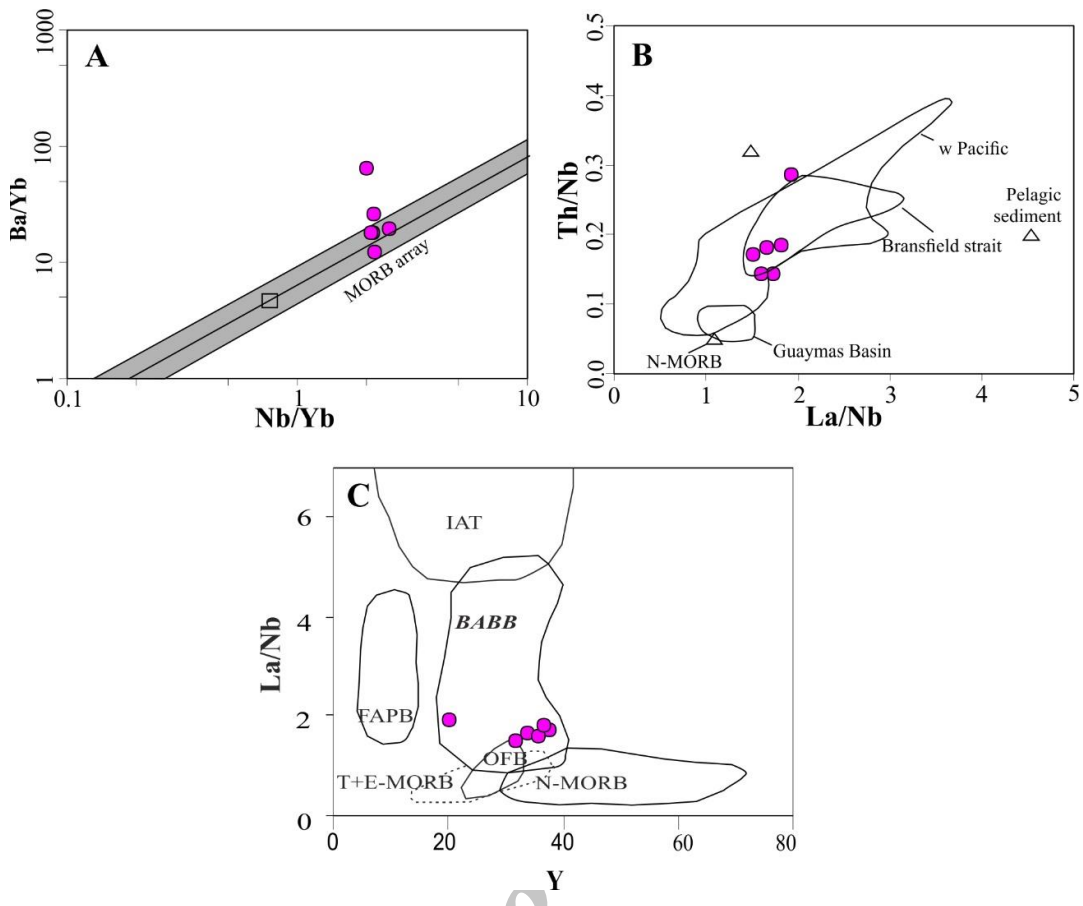
فروارانش و یا ناشی از آلودگی پوسته‌ای طی هضم و تفریق بلورین در حین بالا آمدن ماغما است.

نتیجه‌گیری

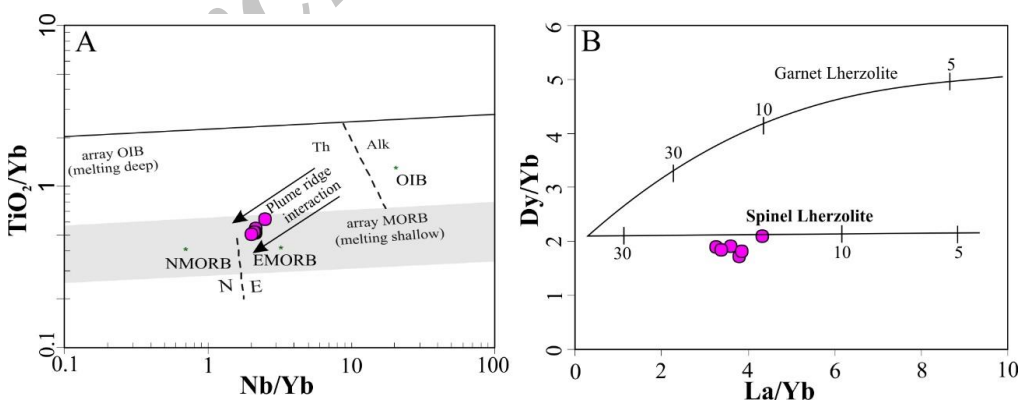
شواهد گوناگون صحرایی و مطالعات آزمایشگاهی نشان می‌دهد که منطقه پیرعبد یک زون برشی شکل‌پذیر بوده که حوادث گوناگون ماقمایی، دگرگونی، تکتونیک و دگرشکلی را پشت سر گذاشته و در خود ثبت نموده است. بررسی شیمی سنگ کل، یک ترکیب بازالتی تا آندزیت بازالتی را برای این متابازیت‌ها نشان می‌دهد. بر مبنای داده‌های ژئوشیمیایی عناصر اصلی، کمیاب و نادر خاکی، ماهیت و سرنشت سنگ‌های متابازیت پیرعبد، مورب غنی‌شده می‌باشد. بررسی تجزیه‌های شیمیایی دلالت بر منطقه پشت کمان قاره‌ای



شکل ۵: (A) الگوی REE نرمالیز شده نسبت به کندریت برای آمفیبولیت‌های پیرعبد (ناکامورا، ۱۹۷۴)، (B) مقادیر نرمالیز شده عناصر کمیاب و REE آمفیبولیت‌های پیرعبد نسبت به گوشه اولیه (سان و مکدوناف، ۱۹۸۹)، (C) مقادیر نرمالیز شده عناصر کمیاب و REE آمفیبولیت‌های پیرعبد نسبت به MORB (پیرس، ۱۹۸۳).



شکل ۶: (A) موقعیت آمفیبولیت‌های پیرعباد روی نمودار Ba/Yb در برابر Nb/Yb که ماهیت بازالت‌های حوضه پشت کمان (BABB) را نشان می‌دهند، (B) موقعیت آمفیبولیت‌های پیرعباد در نمودار Th/Nb در برابر La/Nb مطابق با محیط تکتونیکی کمان (تمپسون و همکاران، ۱۹۸۴)، (C) موقعیت نمونه‌های آمفیبولیت پیرعباد در نمودار La/Nb در برابر Y (کوکاک و همکاران، ۲۰۰۷).



شکل ۷: (A) نمایش نمونه‌های آمفیبولیت پیرعباد بر روی نمودار Nb/Yb در مقابل TiO_2/Yb در محدوده E-MORB. (B) نمودار Dy/Yb نسبت به La/Yb برای نمونه‌های آمفیبولیت پیرعباد. منشأ آستنوسفریک ماجمای پروتولیت آمفیبولیت پیرعباد از حدود تقریباً ۲۰ درصد ذوب بخشی اسپینل لرزولیت گوشه حاصل شده است.

-کولیوند، س.، شبانیان، ن. و داودیان، ا.، ۱۳۹۲.
ماهی آمفیبول در متابازیت‌های پیرعبداد،
شمال‌شرق ازنا، سومین همایش زمین‌شناسی فلات
قاره، دانشگاه آزاد اسلامی واحد زرند.

- Alavi, M., 1994. Tectonics of the Zagros orogenic belt of Iran, new data and information, *Tectonophysics*, v. 229, p. 211-238.
- Azizi, H. and Jahangiri, A., 2008. Cretaceous subduction-related volcanism in the northern Sanandaj-Sirjan Zone, Iran, *Journal of Geodynamics*, v.45, p. 178-190.
- Azizi, H., Asahara, Y., Mehrabi, B. and Lin Chung, S., 2011. Geochronological and geochemical constraints on the petrogenesis of high-K granite from Suffi Abad area, Sanandaj-Sirjan, NW Iran, *Chemie der Erde – Geochemistry*, v. 71, p. 363-376.
- Berberian, M. and King, G.C.P., 1981. Towards a paleogeography and tectonic evolution of Iran, *Canadian Journal of Earth Sciences*, v. 18, p. 210-265.
- Berthier, F., Ballaut, J.P., Halbronn, B. and Maurizot, P., 1974. Étudestratigraphique, pétrologique et structural de la région de Khorramabad (Zagros Iran), Thèse, 3 ème cycle, Université Médicale de Grenoble, France, 281 p.
- Choe, W.H., Lee, J.I., Lee, M.J., Hur, S.D. and Jin, Y.K., 2007. Mantle heterogeneity beneath the Antarctic-Phoenix ridge off Antarctic Peninsula, *Journal of the Petrological Society of Korea*, v.14, p. 73-81 (in Korean with English abstract).
- Coonrad, W.L. and Elliott, R., 1984. The United States Geological Survey in Alaska, Accomplishments During 1981, US Geological Survey, v. 844-847, p.135.

منابع

-شاکری، ا.، ۱۳۸۶. آنالیز ساختاری ناحیه دگرگونی غرب ازنا، با تأکیدی بر مطالعات ریزساختاری، پایان‌نامه کارشناسی ارشد تکتونیک، دانشگاه شهید بهشتی.

- Davoudian, A., Genser, J., Neubauer, F. and Shabanian, N., 2016. $^{40}\text{Ar}/^{39}\text{Ar}$ mineral ages of eclogites from North Shahrekord in the Sanandaj–Sirjan Zone, Iran, Implications for the tectonic evolution of Zagros orogeny, *Gondwana Research*, v. 37, p. 216-240.
- De La Roche, H., Leterrier, J., Grande claude, P. and Marchal, M., 1980. A classification of volcanic and plutonic rocks using R1-R2 diagrams and major element analyses, its relationship's and current nomenclature, *Chemical Geology*, v. 29, p. 183-210.
- Floyd, P.A., Kelling, G., Gokcen, S.L. and Gokcen, N., 1991. Geochemistry and tectonic environment of basaltic rocks from the Misisophiolitic mélange, south Turkey, *Chemical Geology*, v. 89, p. 293-380.
- Hadi, A., Kameran, D. and Ismael, S., 2013. Characteristics of the amphibolite rocks of Penjween area, Kurdistan Region, northeast Iraq, Genetic implication and association with Penjween Ophiolite Complexes, *Journal of Environment and Earth Science*, v. 3, p. 22-44.
- Hawkesworth, C.J., Gallagher, K., Herdt, J.M. and McDermott, F., 1993. Mantle and slab contributions in arc magmas, *Annual Review of Earth and Planetary Sciences*, v.21, p. 175-204.
- Hopson, C.A., Wright, J.E. and Shervais, J.W., 2008. Ophiolites, arcs, and batholiths, a tribute to Cliff Hopson, *Geological Society of America*, p. 418-510.
- Irvine, T.N. and Baragar, W.R.A., 1971. A Guide to Chemical Classification of

- Common Volcanic Rocks, Canadian Journal of Earth Sciences, v. 8, p. 523-547.
- Jamshidi Badr, M.J., Collins, A.S. and Masoudi, F., 2013. The U-Pb age, geochemistry and tectonic significance of granitoids in the Soursat Complex, Northwest Iran, Turkish Journal of Earth Sciences, v. 22, p. 1-31.
- Juliani, C. and McReath, I., 1993. Petroquimica de metabasitos, Metodologia para identificao de magmaticas epos- magmaticas, Geologia Ciencia e Técnica- Centro Paulista de Esludos Geologicos, v.10, p. 31-39.
- Kocak, K., 1993. The petrology and geochemistry of the Ortakoy area, Central Turkey, Ph.D. Thesis, Glasgow University, 280 p.
- Kocak, K., 2002. Mineralogical and petrographical characteristics of the Ortakoy amphibolites and tremolite-bearing gneisses, Pamukkale Üniversitesi Mühendislik Bilimleri Dergisi, v. 8, p. 239-245 (in Turkish).
- Kocak, K., Kurt, H., Veysel, Z. and Ferré, E.C., 2007. Characteristic of the amphibolites from nigde metamorphic (Central Turkey), deduced from whole rock and mineral chemistry, Geochemical Journal, v. 41, p. 241-257.
- Leak, B.E., 1964. The Chemical discrimination between ortho and para Amphibolites, Journal of Petrology, v. 5, p. 238-254.
- Le Maitre, R.W., 1989. A Classification of Igneous Rocks and Glossary of Terms, Blackwell Scientific Publication, Oxford, 193 p.
- Miyashiro, A., 1975. Classification, Characteristics and Origin of Ophiolites, Journal of Geology, v. 83, p. 249-281.
- Mohajjel, M. and Fergusson, C.L., 2000. Dextral Transpression in Late Cretaceous Continental Collision, Sanandaj-Sirjan Zone, Western Iran, Journal of Structural Geology, v. 22, p. 1125-1139.
- Nakamura, N., 1974. Determination of REE, Ba, Fe, Mg, Na and K in carbonaceous and ordinary chondrites, Geochimica et Cosmochimica Acta, v. 38, p. 757-775.
- Pearce, J.A., 1982. Trace element characteristics of Lavas from destructive plate boundaries, In: Thrope, R. S. (ED): Orogenic andesites and related rocks, Chichester, England: John Wiley and Sons, p. 528-548.
- Pearce, J.A., 1983. Role of sub-continental lithosphere in magma genesis at active continental margins, In: Hawkesworth, C.J. and Nurry, M.L., (Eds.), Continental Basalts and Mantle Xenoliths, Shiva, Nantwich, p. 230-249.
- Pearce, J.A., 2008. Geochemical fingerprinting of oceanic basalts with applications to ophiolite classification and the search for Archean oceanic crust, Lithos, v.100, p. 14-48.
- Ricou, L.E., Braud, J. and Brunn, J.A., 1976. Le Zagros, Mémoire société géologique de France, Hors-Série, v. 8, p. 33-52.
- Rollinson, H., 1996. Using geochemical data, evaluation, presentation and interpretation, Longman Ltd., Essex, England, 352 p.
- Saunders, A.D., Norry, M.J. and Tarney, J., 1991. Fluid influence on the trace element com-positions of the subduction zone magmas, Royal Society of London Philosophical Transactions, v. 335, p. 377-392.
- Sahandi, M.R., Radfar, J., Hoseinidoust, J. and Mohajjel, M., 2006. Explanatory Text of the Shazand Quadrangle Map, Geological Survey of Iran, Tehran, Iran.
- Shabanian, N., Khalili, M., Davoudian, A. and Mohajjel, M., 2009. Petrography and geochemistry of mylonitic granite from Ghaleh-Dezh, NW Azna, Sanandaj-Sirjan zone, Iran, Neues Jahrbuch für Mineralogie-Abhandlungen, v. 185, p. 2-16.

- Sinton, J.M. and Fryer, P., 1987. Mariana trough lavas from 18°N, implications for the origin of back arc basin basalts, *Journal of Geophysical Research*, v. 92, p. 12782-12802.
- Sinton, J.M., Ford, L.L., Chappell, B. and McCulloch, M.T., 2003. Magma genesis and mantle heterogeneity in the Manus back-arc basin, Papua New Guinea, *Journal of Petrology*, v.44, p. 159-195.
- Stöckline, J., 1968. Structural history and tectonics of Iran, a review, *Bulletin - American Association of Petroleum Geologists*, v., 52, p. 1229-1258.
- Sun, S.S. and McDonough, W.F., 1989. Chemical and isotopic systematic of oceanic basalts, implications for mantle composition and processes, In: Saunders, A.D. and Norry, M.J. (Eds.): *Magmatism in ocean basins*, Geological society of London, Special Publication, p. 313-345.
- Taylor, S.R. and McLennan, S.M., 1985. The continental crust, its composition and evolution, Blackwell Oxford, England, 312 p.
- Temizel, I. and Arslan, M., 2009. Mineral chemistry and petrochemistry of post-collisional Tertiary mafic to felsic cogenetic volcanics in the Ulubey (Ordu) Area, Eastern Pontides, NE Turkey, *Turkish Journal of Earth Sciences*, v. 18, p. 29-53.
- Thiele, O., 1996. Zum alter der metamorphose in central Iran, *Mitteilungen Der Osterrei Chischen Geographischen Gesellschaft*, Wien, v. 58, p. 87-101.
- Thirlwall, M.F., Smith, T.E., Graham, A.M., Theodorou, N., Hollings, P., Davidson, J.P. and Arculus, R.J., 1994. High field strength element anomalies in arc lavas, source or process? *Journal of Petrology*, v. 35, p. 819-838.
- Thompson, R.N., 1984. Dispatches from the basalt front, 1. Experiments, *The Proceedings of the Geologists' Association*, v. 95, p. 249-262.
- Wilson, M., 1989. Igneous petrogenesis-A global tectonic approach, Unwin Hyman London, England, 456 p.
- Winchester, J.A. and Floyd, P.A., 1977. Geochemical Discrimination of Different Magma Series and Their Differentiation Products Using Immobile Elements, *Chemical Geology*, v. 20, p. 325-343.